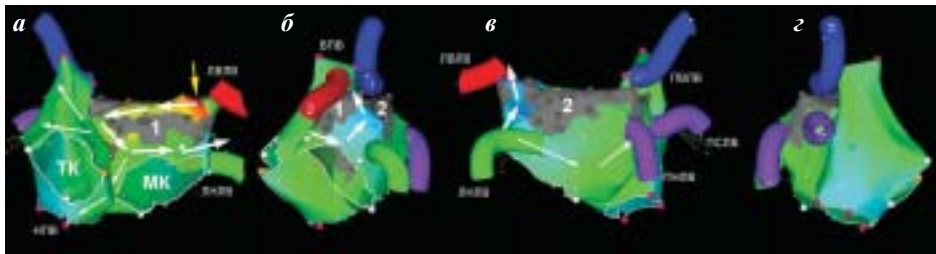


*Рисунки к статье Е.А.Покушалова, А.Н.Турова, П.Л.Шугаева и соавт.*



*Рис. 3. Активационное совмещённое изображение обеих предсердных камер. Проекции - передне-задняя (а), левая боковая (б), задне-передняя (в) и правая боковая (г), где ТК и МК - трикуспидальный и митральный клапаны, НПВ и ВПВ - нижняя и верхняя полые вены, ЛВЛВ - левая верхняя лёгочная вена (ЛВ), ЛНЛВ - левая нижняя ЛВ, ПЛВЛ - правая верхняя ЛВ, ПСЛВ - правая средняя ЛВ, ПНЛВ - правая нижняя ЛВ, 1 - рубец на передней стенке ЛП, 2 - рубец на задней стенке ЛП. Белые стрелки - циркуляция патологического возбуждения, тонкие стрелки - пассивная активация.*

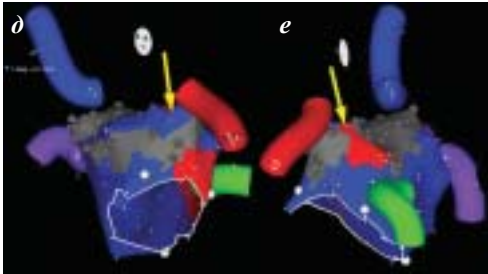
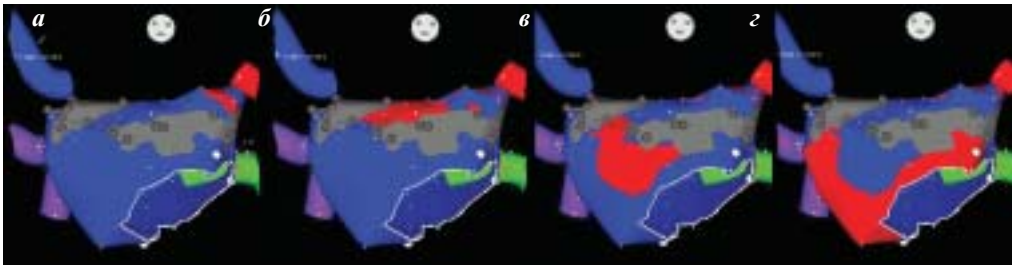


Рис. 4. Последовательность активации ЛП (propagation-map). Проекции - передняя (а-г), LAO-30° (д) и LAO-120° (е). Жёлтая стрелка - феномен «голова-хвост».

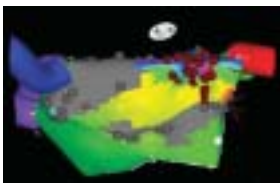


Рис. 5б. Этап радиочастотной аблации левопредсердного ТП - область воздействия (вид спереди и сверху)

Рис. 8. 3D-активационное картирование во время септального ТП: а - левое предсердие, передняя проекция, б - правое предсердие, задняя проекция, вид на межпредсердную перегородку, в - совмещённое биатриальное изображение, передняя проекция.

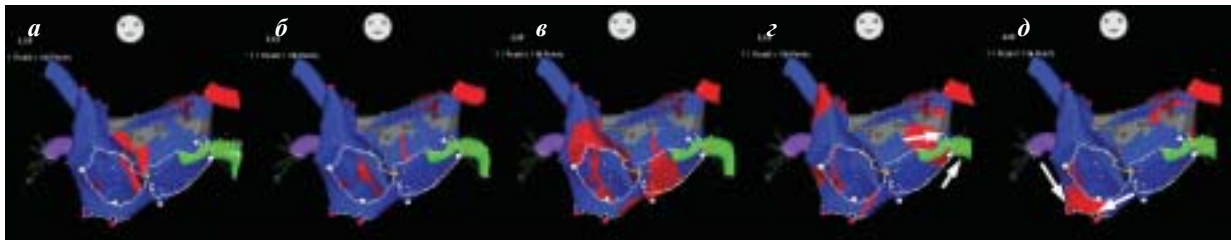
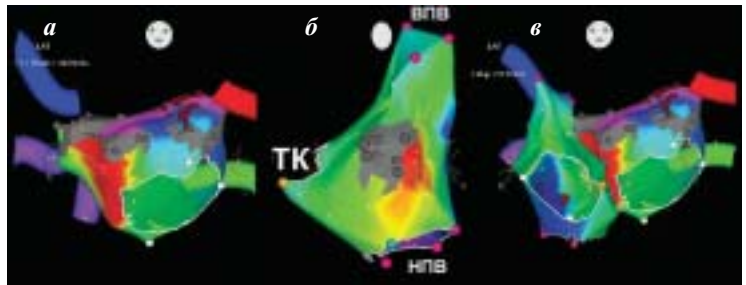


Рис. 9. Последовательность предсердной активации (propagation-map) во время септального ТП, передняя проекция. Белые стрелки показывают феномен «слияния» двух пассивных фронтов возбуждения на митральном (г) и трикуспидальном (д) кольцах.

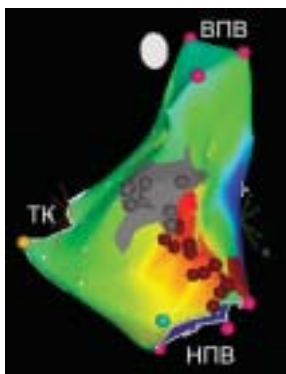


Рис. 11. Этап радиочастотной аблации септального ТП - область воздействия. 3D-изображение правого предсердия, задняя проекция, вид на межпредсердную перегородку.

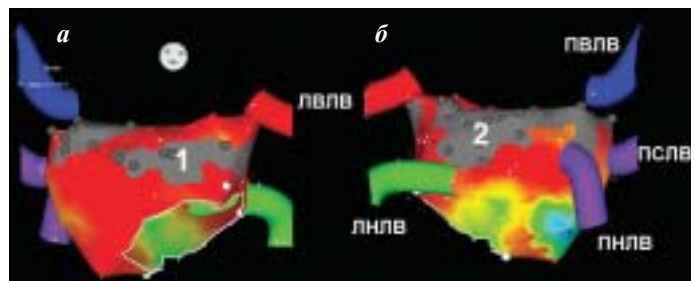


Рис. 14. Вольтажная биполярная 3D-карта левого предсердия: а - передняя, б - задняя проекция. Красным цветом обозначены области с низковольтной активностью (менее 0,3 мВ). Цифровые обозначения - как в предыдущих рисунках.